

ДЕФОРМИРОВАНИЕ КРУГОВОЙ ТРЕХСЛОЙНОЙ ПЛАСТИНЫ С ЛЕГКИМ СЖИМАЕМЫМ ЗАПОЛНИТЕЛЕМ

Захарчук Ю.В.

Белорусский государственный университет транспорта, Гомель

Введение. Деформированию и колебаниям слоистых, в том числе трехслойных элементов конструкций, посвящены многочисленные исследования. Постановки и методы решения соответствующих краевых и начально-краевых задач приведены в монографиях [1–9]. Исследования деформирования трехслойных стержней и оболочек при квазистатических нагрузках содержатся в работах [10–15].

Следует отметить, что деформирование трехслойных круговых пластин исследовалось только в случае несжимаемого заполнителя. Это вызвано определенными математическими трудностями при постановке и решении соответствующих краевых задач. Однако учет сжимаемости заполнителя в большей степени адекватно описывает деформирование трехслойных элементов конструкций.

1. Постановка краевой задачи. Рассмотрим упругую круговую трехслойную пластину со сжимаемым-растягиваемым заполнителем (рисунок 1). Постановку задачи и ее решение проведем в цилиндрической системе координат r, φ, z . Систему координат свяжем со срединной плоскостью заполнителя. В тонких несущих слоях с толщинами $h_1 \neq h_2$ справедливы гипотезы Кирхгофа: нормаль остается несжимаемой, прямолинейной и перпендикулярной к деформированной срединной поверхности. В заполнителе, воспринимающем нагрузку в тангенциальном и вертикальном направлениях, нормаль остается прямолинейной, поворачивается на некоторый дополнительный угол $\psi(r)$. Обжатие по толщине принимается линейным.

На внешний слой стержня действует симметричная распределенная нагрузка с вертикальной $q = q(r)$ и горизонтальной $p = p(r)$ составляющими. На контуре пластинки предполагается наличие жесткой диафрагмы, препятствующей относительному сдвигу слоев и обжатию заполнителя ($\psi = 0, v = 0$ при $r = r_0$). Через $w(r)$ и $u(r)$ обозначены прогиб и продольное перемещение срединной плоскости заполнителя, $v(r)$ – функция, характеризующая сжимаемость заполнителя. Обозначим через h_k толщину k -го слоя ($k = 1, 2, 3$ – номер слоя), при этом $h_3 = 2c$.

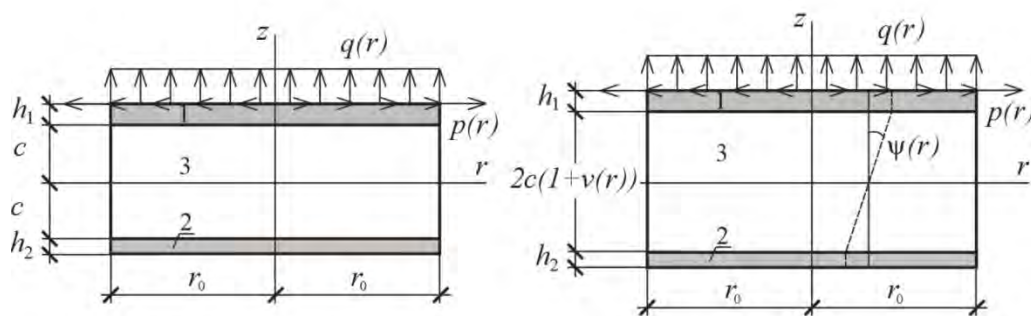


Рис.1. Схема деформирования круговой трехслойной пластины

Продольные и поперечные перемещения в слоях $u^{(k)}(r, z)$ и $w^{(k)}(r, z)$ можно выразить через четыре искомые функции $w(r), u(r), \psi(r)$ и $v(r)$ следующими соотношениями:

- в несущих слоях 1, 2

$$u_r^{(1)} = u + c\psi - z(w_{,r} + v_{,r}c), \quad w^{(1)} = w(r) + v(r)c, \quad (c \leq z \leq c + h_1),$$

$$u_r^{(2)} = u - c\psi - z(w_{,r} - v_{,r}c), \quad w^{(2)} = w(r) - v(r)c, \quad (-c - h_2 \leq z \leq -c),$$

▪ в заполнителе 3

$$u_r^{(3)} = u + z\psi - z(w_{,r} + v_{,r}z), \quad w^{(3)}(r, z) = w(r) + v(r)z, \quad (-c \leq z \leq c), \quad (1)$$

где z – расстояние от рассматриваемого волокна до срединной поверхности заполнителя; запятая в нижнем индексе обозначает операцию дифференцирования по следующей за ней координате.

Компоненты тензора деформаций в слоях получим из перемещений (1), используя соотношения Коши:

$$\begin{aligned} \varepsilon_r^{(1)} &= u_{,r} + c\psi_{,r} - z(w_{,rr} + v_{,rr}c), \quad \varepsilon_\phi^{(1)} = \frac{1}{r}(u + c\psi - z(w_{,r} + v_{,r}c)), \quad \varepsilon_{rz}^{(1)} = 0, \quad (c \leq z \leq c + h_1), \\ \varepsilon_r^{(2)} &= u_{,r} - c\psi_{,r} - z(w_{,rr} - v_{,rr}c), \quad \varepsilon_\phi^{(2)} = \frac{1}{r}(u - c\psi - z(w_{,r} - v_{,r}c)), \quad \varepsilon_{rz}^{(2)} = 0, \quad (-c - h_2 \leq z \leq -c), \\ \varepsilon_r^{(3)} &= u_{,r} + z\psi_{,r} - z(w_{,rr} + v_{,rr}z), \quad \varepsilon_\phi^{(3)} = \frac{1}{r}(u + z\psi - z(w_{,r} + v_{,r}z)), \\ \varepsilon_{rz}^{(3)} &= \frac{1}{2}(\psi - v_{,r}z), \quad \varepsilon_z^{(3)} = v, \quad (-c \leq z \leq c). \end{aligned} \quad (2)$$

Таким образом, через введенные четыре искомые функции $w(r)$, $u(r)$, $\psi(r)$ и $v(r)$ выражены перемещения (1) и деформации (2) в круговой пластине со сжимаемым заполнителем.

Используя компоненты тензора напряжений $\sigma_\alpha^{(k)}$ ($\alpha = r, \phi$), введем обобщенные внутренние усилия и моменты в пластине:

$$\begin{aligned} T_\alpha &\equiv \sum_{k=1}^3 T_\alpha^{(k)} = \sum_{k=1}^3 \int_{h_k} \sigma_\alpha^{(k)} dz, \quad M_\alpha \equiv \sum_{k=1}^3 M_\alpha^{(k)} = \sum_{k=1}^3 \int_{h_k} \sigma_\alpha^{(k)} z dz, \\ S_\alpha^{(3)} &= \int_{-c}^c \sigma_\alpha^{(3)} z^2 dz, \quad H_\alpha = M_\alpha^{(3)} + c(T_\alpha^{(1)} - T_\alpha^{(2)}), \quad D_\alpha = S_\alpha^{(3)} + c(M_\alpha^{(1)} - M_\alpha^{(2)}), \end{aligned} \quad (3)$$

где интегралы берутся по толщине k -го слоя.

Уравнения равновесия рассматриваемой трехслойной пластины со сжимаемым заполнителем получим, используя вариационный принцип Лагранжа:

$$\delta A = \delta W,$$

где $\delta A = \delta A_1 + \delta A_2$ – суммарная вариация работы внешних сил δA_1 и контурных усилий δA_2 ; δW – вариация работы внутренних сил упругости.

Вариация работы внешней поверхностной нагрузки будет:

$$\delta A_1 = \iint_S (q\delta w + p\delta u) r dr d\phi. \quad (4)$$

Вариация работы контурных усилий $T_r^0, H_r^0, M_r^0, Q^0, D_r^0, M_{rz}^0$:

$$\delta A_2 = \int_0^{2\pi} (T_r^0 \delta u + H_r^0 \delta \psi + M_r^0 \delta w_{,r} + Q^0 \delta w + D_r^0 \delta v_{,r} + M_{rz}^0 \delta v) d\phi. \quad (5)$$

Вариация работы сил упругости не учитывает в заполнителе работу нормальных $\sigma_z^{(3)}$ и касательных $\sigma_{rz}^{(3)}$ напряжений:

$$\delta W = \iint_S \left[\sum_{k=1}^3 \int_{h_k} (\sigma_r^{(k)} \delta \varepsilon_r^{(k)} + \sigma_\phi^{(k)} \delta \varepsilon_\phi^{(k)}) dz \right] r dr d\phi \quad (6)$$

где двойной интеграл распространен по срединной поверхности заполнителя S .

Вариации перемещений в слоях следуют из (1), деформаций – из (2). После необходимых преобразований имеем:

$$\delta W = \iint_S \left[T_r \delta u_{,r} + H_r \delta \psi_{,r} - M_r \delta w_{,rr} - D_r \delta v_{,rr} + \frac{1}{r} (T_\phi \delta u + H_\phi \delta \psi - M_\phi \delta w_{,r} - D_\phi \delta v_{,r}) \right] r dr d\phi \quad (7)$$

где внутренние усилия $T_\alpha, M_\alpha, H_\alpha, D_\alpha$ ($\alpha = r, \phi$) введены соотношениями (3).

Вариацию потенциальной энергии проинтегрируем в полярной системе координат. Подынтегральное выражение в (7) можно разбить на два интеграла, вынося в первом из них операцию дифференцирования за общую скобку, а во втором – группируя слагаемые при одинаковых виртуальных перемещениях:

$$\begin{aligned} \delta W = & \int_0^{2\pi} \left\{ rT_r \delta u + rH_r \delta \psi - rM_r \delta w_{,r} + [(rM_r)_{,r} - M_\phi] \delta w - rD_r \delta v_{,r} + \right. \\ & + [(rD_r)_{,r} - D_\phi] \delta v \left. \right\} d\phi - \int \int \left\{ [(rT_r)_{,r} - T_\phi] \delta u + [(rH_r)_{,r} - H_\phi] \delta \psi + \right. \\ & \left. + [(rM_r)_{,rr} - M_{\phi,r}] \delta w + [(rD_r)_{,rr} - D_{\phi,r}] \delta v \right\} d\phi dr. \end{aligned}$$

Приравняем полученное выражение к работе внешних и контурных усилий (4), (5) и потребуем выполнение этого равенства при любых значениях варьируемых перемещений. Это возможно при равенстве нулю коэффициентов при независимых вариациях искомых функций. Отсюда следует система дифференциальных уравнений равновесия в усилиях, описывающая деформирование круглой трехслойной пластинки со сжимаемым наполнителем:

$$\begin{cases} T_{r,r} + \frac{1}{r}(T_r - T_\phi) = -p, \\ H_{r,r} + \frac{1}{r}(H_r - H_\phi) = 0, \\ M_{r,rr} + \frac{1}{r}(2M_{r,r} - M_{\phi,r}) = -q, \\ D_{r,rr} + \frac{1}{r}(2D_{r,r} - D_{\phi,r}) = 0. \end{cases} \quad (8)$$

На контуре пластины $r = r_0$ должны выполняться силовые условия:

$$\begin{aligned} T_r &= T_r^0, \quad H_r = H_r^0, \\ M_r &= M_r^0, \quad M_{r,r} + \frac{1}{r}(M_r - M_\phi) = Q^0, \\ D_r &= D_r^0, \quad D_{r,r} + \frac{1}{r}(D_r - D_\phi) = M_{rz}^0. \end{aligned}$$

Выразим внутренние обобщенные усилия (3) через перемещения. Для этого напряжения в слоях рассматриваемой пластины представим через деформации с помощью закона Гука в девиаторно-шаровой форме:

$$\sigma_{ij}^{(k)} = s_{ij}^{(k)} + \sigma^{(k)} \delta_{ij} \quad (9)$$

где

$$\begin{aligned} s_{ij}^{(k)} &= 2G_k \vartheta_{ij}^{(k)}, \quad \vartheta_{ij}^{(k)} = \varepsilon_{ij}^{(k)} - \varepsilon^{(k)} \delta_{ij}, \quad \sigma^{(k)} = K_k \theta^{(k)} = 3K_k \varepsilon^{(k)}, \quad \varepsilon^{(k)} = \frac{1}{3}(\varepsilon_r^{(k)} + \varepsilon_\phi^{(k)} + \varepsilon_z^{(k)}), \\ &(i, j = r, \phi, z; k = 1, 2, 3). \end{aligned}$$

Шаровая и девиаторная части тензора деформаций в (9) будут

$$\begin{aligned} \varepsilon^{(k)} &= \frac{1}{3}(\varepsilon_r^{(k)} + \varepsilon_\phi^{(k)}), \quad \vartheta_r^{(k)} = \varepsilon_r^{(k)} - \frac{1}{3}(\varepsilon_r^{(k)} + \varepsilon_\phi^{(k)}) = \frac{2}{3}\varepsilon_r^{(k)} - \frac{1}{3}\varepsilon_\phi^{(k)}, \\ \vartheta_\phi^{(k)} &= \frac{2}{3}\varepsilon_\phi^{(k)} - \frac{1}{3}\varepsilon_r^{(k)}, \quad (k = 1, 2), \quad \varepsilon^{(3)} = \frac{1}{3}(\varepsilon_r^{(3)} + \varepsilon_\phi^{(3)} + \varepsilon_z^{(3)}), \quad \vartheta_r^{(3)} = \frac{2}{3}\varepsilon_r^{(3)} - \frac{1}{3}\varepsilon_\phi^{(3)} - \frac{1}{3}\varepsilon_z^{(3)}, \\ \vartheta_\phi^{(3)} &= \frac{2}{3}\varepsilon_\phi^{(3)} - \frac{1}{3}\varepsilon_r^{(3)} - \frac{1}{3}\varepsilon_z^{(3)}, \quad \vartheta_z^{(3)} = \frac{2}{3}\varepsilon_z^{(3)} - \frac{1}{3}\varepsilon_r^{(3)} - \frac{1}{3}\varepsilon_\phi^{(3)}, \quad \vartheta_{rz}^{(3)} = \varepsilon_{rz}^{(3)}. \end{aligned} \quad (10)$$

Компоненты тензора напряжений связаны с деформациями (10) законом Гука:

$$\begin{aligned} \sigma_r^{(k)} &= 2G_k \vartheta_r^{(k)} + 3K_k \varepsilon^{(k)} \delta_{ij} = (K_k + \frac{4}{3}G_k) \varepsilon_r^{(k)} + (K_k - \frac{2}{3}G_k) \varepsilon_\phi^{(k)} = K_k^+ \varepsilon_r^{(k)} + K_k^- \varepsilon_\phi^{(k)}, \quad (k = 1, 2), \\ \sigma_r^{(3)} &= K_3^+ \varepsilon_r^{(3)} + K_3^- (\varepsilon_\phi^{(3)} + \varepsilon_z^{(3)}), \quad \sigma_\phi^{(k)} = K_k^+ \varepsilon_\phi^{(k)} + K_k^- \varepsilon_r^{(k)}, \quad (k = 1, 2), \\ \sigma_\phi^{(3)} &= K_3^+ \varepsilon_\phi^{(3)} + K_3^- (\varepsilon_r^{(3)} + \varepsilon_z^{(3)}), \quad \sigma_z^{(3)} = K_3^+ \varepsilon_z^{(3)} + K_3^- (\varepsilon_r^{(3)} + \varepsilon_\phi^{(3)}), \quad \sigma_{rz}^{(3)} = 2G_3 \varepsilon_{rz}^{(3)}, \end{aligned} \quad (11)$$

где введены обозначения

$$K_k^+ = K_k + \frac{4}{3}G_k, \quad K_k^- = K_k - \frac{2}{3}G_k.$$

Используя соотношения (9), (10), (11), выразим обобщенные внутренние усилия и моменты через искомые функции $w(r)$, $u(r)$, $\psi(r)$ и $v(r)$. Подставив их в систему дифференциальных уравнений равновесия в усилиях (8), получим в итоге систему обыкновенных дифференциальных уравнений, описывающую перемещения в круглой трехслойной пластине со сжимаемым заполнителем:

$$\begin{aligned} L_2(a_1u + a_2\psi - a_3w_{,r} - a_5v_{,r}) + 2cK_3^-v_{,r} &= -p, \\ L_2(a_2u + a_4\psi - a_5w_{,r} - a_7v_{,r}) &= 0, \\ L_3(a_3u + a_5\psi - a_6w_{,r} - a_8v_{,r}) &= -q, \\ L_3(a_5u + a_7\psi - a_8w_{,r} - a_9v_{,r}) + \frac{2}{3}c^3K_3^- \left(v_{,rr} + \frac{v_{,r}}{r} \right) &= 0, \end{aligned} \quad (12)$$

где коэффициенты a_i и дифференциальные операторы L_2 (оператор Бесселя), L_3 определяются соотношениями:

$$\begin{aligned} a_1 &= \sum_{k=1}^3 h_k K_k^+, \quad a_2 = c(h_1 K_1^+ - h_2 K_2^+), \\ a_3 &= h_1 \left(c + \frac{1}{2}h_1 \right) K_1^+ - h_2 \left(c + \frac{1}{2}h_2 \right) K_2^+, \quad a_4 = c^2 \left(h_1 K_1^+ + h_2 K_2^+ + \frac{2}{3}c K_3^+ \right), \\ a_5 &= c \left[h_1 \left(c + \frac{1}{2}h_1 \right) K_1^+ + h_2 \left(c + \frac{1}{2}h_2 \right) K_2^+ + \frac{2}{3}c^2 K_3^+ \right], \\ a_6 &= h_1 \left(c^2 + ch_1 + \frac{1}{3}h_1^2 \right) K_1^+ + h_2 \left(c^2 + ch_2 + \frac{1}{3}h_2^2 \right) K_2^+ + \frac{2}{3}c^3 K_3^+, \\ a_7 &= c^2 \left[h_1 \left(c + \frac{1}{2}h_1 \right) K_1^+ - h_2 \left(c + \frac{1}{2}h_2 \right) K_2^+ \right], \\ a_8 &= c \left[h_1 \left(c^2 + ch_1 + \frac{1}{3}h_1^2 \right) K_1^+ - h_2 \left(c^2 + ch_2 + \frac{1}{3}h_2^2 \right) K_2^+ \right], \\ a_9 &= c^2 \left(h_1 \left(c^2 + ch_1 + \frac{h_1^2}{3} \right) K_1^+ + h_2 \left(c^2 + ch_2 + \frac{h_2^2}{3} \right) K_2^+ + \frac{2}{5}c^3 K_3^+ \right), \\ L_2(g) &\equiv \left(\frac{1}{r} (rg)_{,r} \right)_{,r} \equiv g_{,rr} + \frac{g_{,r}}{r} - \frac{g}{r^2}, \quad L_3(g) \equiv \frac{1}{r} (rL_2(g))_{,r} \equiv g_{,rrr} + \frac{2g_{,rr}}{r} - \frac{g_{,r}}{r^2} + \frac{g}{r^3}. \end{aligned}$$

Краевая задача замыкается добавлением к (12) кинематических граничных условий. При жесткой заделке контура пластины должны выполняться условия

$$u = \psi = w = v = w_{,r} = 0 \quad \text{при } r = r_0.$$

При шарнирном опирании контура пластины

$$u = \psi = w = v = M_r = 0 \quad \text{при } r = r_0.$$

В случае свободного контура

$$\psi = v = 0, \quad T_r = M_r = M_{r,r} = 0. \quad (13)$$

Следует отметить, что если в системе (12) положить $v(r) \equiv 0$, то первые три уравнения в ней совпадут с известной системой уравнений равновесия для круговой пластины с несжимаемым заполнителем [4].

2. Решение краевой задачи.

Проведя необходимые преобразования в системе (12), приходим к следующей системе уравнений

$$\begin{aligned} u &= -\frac{1}{a_2} (a_4\psi - a_5w_{,r} - a_7v_{,r}) + C_1 \frac{r}{2} + C_2 \frac{1}{r}, \\ \psi &= \frac{1}{(a_2a_5 - a_3a_4)} \left[(a_2a_6 - a_3a_5)w_{,r} + (a_2a_8 - a_3a_7)v_{,r} \right] - \\ &\quad - \frac{a_2}{(a_2a_5 - a_3a_4)} L_3^{-1}(q) + C_3 \frac{r}{4} (2 \ln r - 1) + C_4 \frac{r}{2} + C_5 \frac{1}{r}, \end{aligned}$$

$$w = -\frac{d_6}{d_5}v - \frac{d_7}{d_5} \int_0^r L_3^{-1} \left(v_{,rr} + \frac{v_{,r}}{r} \right) dr + \frac{d_8}{d_5} \int_0^r L_3^{-1}(q) dr + \frac{C_6}{4} r^2 (\ln r - 1) + \frac{C_7}{4} r^2 + C_8 \ln r + C_9, \quad \Delta \Delta v + \beta^2 \Delta v = q_1. \quad (14)$$

Здесь L_2^{-1} , L_3^{-1} – линейные интегральные операторы, обратные дифференциальным операторам (12)

$$L_2^{-1}(f) \equiv \frac{1}{r} \int r \int f dr dr, \quad L_3^{-1}(f) \equiv \frac{1}{r} \int r \int \frac{1}{r} \int r f dr dr dr;$$

оператор Лапласа

$$\Delta = \frac{1}{r} \frac{d}{dr} \left(r \frac{d}{dr} \right), \quad \Delta \Delta v \equiv L_3 \left(\frac{dv}{dr} \right);$$

коэффициенты

$$\begin{aligned} d_1 &= (a_2 a_6 - a_3 a_5)(a_2^2 - a_1 a_4) - (a_2 a_3 - a_1 a_5)(a_2 a_5 - a_3 a_4), \\ d_2 &= (a_2 a_8 - a_3 a_7)(a_2^2 - a_1 a_4) - (a_2 a_5 - a_1 a_7)(a_2 a_5 - a_3 a_4), \quad d_3 = 2ca_2(a_2 a_5 - a_3 a_4)K_3^-, \\ d_4 &= a_2(a_2^2 - a_1 a_4), \quad d_5 = (a_2 a_6 - a_3 a_5)(a_2 a_7 - a_4 a_5) - (a_2 a_8 - a_5^2)(a_2 a_5 - a_3 a_4), \\ d_6 &= (a_2 a_8 - a_3 a_7)(a_2 a_7 - a_4 a_5) - (a_2 a_9 - a_5 a_7)(a_2 a_5 - a_3 a_4), \quad d_7 = \frac{2}{3}c^3 a_2(a_2 a_5 - a_3 a_4)K_3^-, \\ d_8 &= a_2(a_2 a_7 - a_4 a_5), \quad \beta^2 = \frac{d_3 d_5 - d_1 d_7}{d_2 d_5 - d_1 d_6}; \end{aligned}$$

приведенная нагрузка

$$q_1 = \frac{d_4 d_5 - d_1 d_8}{d_2 d_5 - d_1 d_6} q. \quad (15)$$

Таким образом, функция сжимаемости должна удовлетворять неоднородному дифференциальному уравнению четвертого порядка (14)₄. Рассмотрим это уравнение. Вынося оператор Лапласа за скобку, получим

$$\Delta(\Delta v + \beta^2 v) = q_1,$$

или

$$\frac{1}{r} \frac{d}{dr} \left(r \frac{d}{dr} \right) (\Delta v + \beta^2 v) = q_1.$$

После двукратного интегрирования имеем

$$\Delta v + \beta^2 v = \int_0^r \frac{1}{r} \int_0^r r q_1 dr dr + C_{10} \ln r + C_{11}. \quad (16)$$

Используя оператор Лапласа (15) уравнение (16) сводим к неоднородному уравнению Бесселя:

$$\frac{d^2 v}{dr^2} + \frac{1}{r} \frac{dv}{dr} + \beta^2 v = q_2. \quad (17)$$

где функция

$$q_2(r) = \int_0^r \frac{1}{r} \int_0^r r q_1 dr dr + C_{10} \ln r + C_{11}.$$

Рассмотрим однородное уравнение, соответствующее уравнению (17):

$$\Delta v_0 + \beta^2 v_0 = 0.$$

Его решение v_0 будет

$$v_0 = C_{12} J_0(\beta r) + C_{13} Y_0(\beta r). \quad (18)$$

где $J_0(\beta r)$ – функция Бесселя первого рода нулевого порядка, $Y_0(\beta r)$ – функция Бесселя второго рода нулевого порядка (функция Неймана).

Частное решение v_r уравнения (17) можно получить, используя два независимых решения однородного уравнения (18):

$$v_r = Y_0(\beta r) \int \frac{J_0(\beta r) q_2(r)}{W} dr - J_0(\beta r) \int \frac{Y_0(\beta r) q_2(r)}{W} dr. \quad (19)$$

где W – определитель Вронского. В нашем случае

$$W\{J_0, Y_0\} = Y_{0,r} J_0 - J_{0,r} Y_0 = \frac{2}{\pi r}.$$

Искомое решение уравнения (17) выпишем в виде суммы общего решения однородного уравнения (18) и частного решения (19). В результате

$$v = C_{12} J_0(\beta r) + C_{13} Y_0(\beta r) + \frac{\pi}{2} \left(Y_0(\beta r) \int J_0(\beta r) q_2(r) r dr - J_0(\beta r) \int Y_0(\beta r) q_2(r) r dr \right).$$

Остальные перемещения вычисляются последовательно по формулам (14).

Следует отметить, что для сплошных круглых пластин из условия ограниченности решения в начале координат следует положить

$$C_2 = C_3 = C_5 = C_6 = C_8 = C_{10} = C_{13} = 0.$$

Заключение. Приведенная постановка и предложенное решение позволяет рассчитывать напряженно-деформированное состояние круговой трехслойной пластины с легким сжимаемым заполнителем при различных нагрузках и граничных условиях.

ЛИТЕРАТУРА

1. Болотин, В.В. *Механика многослойных конструкций* / В.В. Болотин, Ю.Н. Новичков – М.: Машиностроение, 1980. – 375 с.
2. Гориков, А.Г. *Теория упругости и пластичности* / А.Г. Гориков, Э.И. Старовойтов, Д.В. Тарлаковский – М.: ФИЗМАТЛИТ, 2011. – 416 с.
3. Плескачевский, Ю. М. *Деформирование металлополимерных систем* / Ю. М. Плескачевский, Э. И. Старовойтов, А. В. Яровая – Минск: Бел. наука. 2004. – 342 с.
4. Плескачевский, Ю. М. *Динамика металлополимерных систем* / Ю. М. Плескачевский, Э. И. Старовойтов, А. В. Яровая. – Минск: Бел. наука. 2004. – 386 с.
5. Старовойтов, Э. И. *Деформирование трехслойных элементов конструкций на упругом основании* / Э. И. Старовойтов, А. В. Яровая, Д. В. Леоненко – М.: ФИЗМАТЛИТ, 2006. – 380 с.
6. Плескачевский, Ю.М. *Механика трехслойных стержней и пластин, связанных с упругим основанием* / Ю.М. Плескачевский, Э.И. Старовойтов, Д.В. Леоненко – М.: ФИЗМАТЛИТ, 2011. – 560 с.
7. Старовойтов, Э. И. *Сопротивление материалов* / Э. И. Старовойтов – М.: ФИЗМАТЛИТ, 2008. – 384 с.
8. Старовойтов, Э.И. *Трехслойные стержни в терморadiaционных полях* / Э.И. Старовойтов, М.А. Журавков, Д.В. Леоненко // Минск: Беларуская наука, 2017. – 275 с.
9. Starovoitov, E. I. *Foundations of the theory of elasticity, plasticity and viscoelasticity* / E. I. Starovoitov, F.V. Nagiyev – Apple Academic Press, Toronto, New Jersey, Canada, USA, 2012. – 346 p.
10. Старовойтов, Э.И. *Термосиловое деформирование трехслойной круговой цилиндрической оболочки* / Э.И. Старовойтов, Ф.Б. Нагиев // Теоретическая и прикладная механика. Вып. 31.– Мн.: БНТУ. –2016. – С. 176–184.
11. Плескачевский, Ю. М. *Деформирование трехслойного упругого стержня нагрузками различных форм в температурном поле* / Ю.М. Плескачевский, Э.И. Старовойтов, Д.В. Леоненко // Теоретическая и прикладная механика: междунар. научно-техн. сборник.– Мн.: 2017. – Вып. 32. – С. 5–12.

12. Старовойтов, Э.И. Повторное знакопеременное нагружение упругопластических тел в нейтронном потоке / Э.И. Старовойтов, Д.М. Савицкий // Теоретическая и прикладная механика. – 2015. – Минск: БНТУ. Вып. 30. – С. 20–29.
13. Старовойтов, Э.И. Термосиловое деформирование трехслойных упругопластических стержней / Э.И. Старовойтов, Д.М. Савицкий // Теоретическая и прикладная механика. – 2014. – Вып. 29. – С. 51–57.
14. Старовойтов, Э.И. Колебания круглых трехслойных пластин, связанных с упругим основанием / Э.И. Старовойтов, В.Д. Кубенко, Д.В. Тарлаковский // Изв. ВУЗов. Авиационная техника. – 2009. – №2. – С. 16–19.
15. Starovoitov, E.I. Circular sandwich plates under local impulsive loads / E.I. Starovoitov, D.V. Leonenko, A.V. Yarovaya // International Applied Mechanics. – 2003. – Т. 39, №8. – P. 945-952.